

## ПОМЕХОЗАЩІЩЕННЯ И СПЕКТРАЛЬНАЯ ЕФФЕКТИВНОСТЬ РЭЛЕЕВСКИХ WI-FI КАНАЛОВ СВЯЗИ ПРИ ФЛУКТУАЦІЇ НАПРАВЛЕНИЯ ПРИХОДА ПОМЕХИ

В работе исследуется помехозащищенность и спектральная эффективность рэлеевского Wi-Fi канала связи с линейной малоэлементной адаптивной антенной решеткой, в алгоритме адаптации которой учитывается, что направление прихода помехи может флюктуировать в определенном секторе углов. Известно, что при случайном изменении направления прихода помехи качество работы Wi-Fi канала связи ухудшается. Однако в опубликованных работах пока нет данных о степени влияния этих изменений. Выявление закономерностей и степени влияния этих изменений является целью данной статьи.

**Ключевые слова:** связь, канал связи, антенная решетка, помеха.

**Введение.** Одной из задач при передачи мультимедийной информации по Wi-Fi каналам связи является обеспечение помехоустойчивости этих каналов на уровне вероятности битовой ошибки  $BER = 10^{-4} - 10^{-6}$  при приемлемой спектральной эффективности  $C_{\mathcal{E}}$ .

Известно, что при наличии преднамеренной или непреднамеренной помехи помехозащищенность каналов связи уменьшается. Перспективным способом борьбы с помехами является применение адаптивных антенных решеток (AAP), использующих фазокомпенсационный метод адаптации [1]. Особенность этого метода состоит в необходимости знания направления прихода помехи  $\theta_n$ . По многим причинам направление прихода помехи может флюктуировать в определенном секторе углов шириной  $2\delta$ . Например, неточное определение  $\theta_n$  может быть вызвано перемещением источника помех, многолучевостью или погрешностью его измерения.

Нетрудно предположить, что флюктуации угла прихода помехи вызовут ошибки в работе алгоритма адаптации при формировании нуля диаграммы направленности антенны в направлении прихода помехи. Это приведет к уменьшению отношения сигнал-помеха (ОСП) на входе приемника с адаптивной антенной решеткой, а, следовательно, и к ухудшению величины  $BER$  и  $C_{\mathcal{E}}$ . Алгоритм адаптации, учитывающий влияние флюктуации направления прихода помехи в секторе  $2\delta$ , разработан в [2]. Однако детальные исследования помехозащищенности и производительности каналов связи с адаптивными антennыми решетками проведены не были.

Цель данной работы состоит в изучении с помощью алгоритма, разработанного в [2], ранее неизвестных закономерностей изменения параметров  $BER$  и  $C_{\mathcal{E}}$  рэлеевского (многолучевого) Wi-Fi канала с адаптивной антенной (AP) при случайном изменении направления прихода помехи.

**Расчетные соотношения и результаты.** В многолучевом Wi-Fi канале, который рассматривается в статье, коэффициент передачи распределен по рэлеевскому закону. При этом случайные ОСП, обозначим его  $\rho$ , имеют экспоненциальную плотность распределения, а вероятность битовой ошибки  $BER(\rho)$  определяется следующим выражением [3]:

$$BER = \frac{1}{2} \left( 1 - \sqrt{\frac{\rho}{\rho + 1}} \right).$$

В [3] выведена формула и для производительности (спектральной эффективности) рэлеевского канала  $C_{\mathcal{E}}$ :

$$C_{\mathcal{E}} = -\frac{1}{\ln 2} e^{\frac{1}{\rho}} \int_{-\infty}^{\rho} \frac{e^t}{t} dt.$$

Таким образом, при известной величине ОСП параметры канала связи  $BER$  и  $C_{\mathcal{E}}$  легко определяются.

Для вычисления оптимальной величины ОСП, достигаемой в результате адаптации, будем использовать алгоритм, описанный в работе [2]. Основные положения этого алгоритма следующие:

- направление прихода помехи  $\theta_n$  является случайной величиной, которая изменяется в интервале  $[\theta_n - \delta, \theta_n + \delta]$ ;
- входной сигнал АР обрабатывается при помощи вектора весовых коэффициентов (ВВК) таким образом, чтобы сформировать нуль ДН в направлении прихода помехи и максимум в направлении прихода полезного сигнала;
- алгоритм нахождения оптимального ВВК использует метод обращения ковариационной матрицы.

В [2] показано, что по описанному значению ВВК величина максимального ОСП  $\rho_{max}$  определяется таким образом:

$$\rho_{max} = \Phi(\vec{W}_{onm}) = |f(\vec{u}_s)|^2 \frac{\bar{P}_s}{\bar{P}_j} (A_n^{-1} \cdot \vec{V}_s, \vec{V}_s),$$

где  $f(\vec{u}_s)$  – ДН элемента решетки;  $\bar{P}_s (\bar{P}_j)$  - среднее значение мощности за период полезного (помехового) сигнала;  $\vec{V}_s = (\exp(i k \vec{r}_1 \cdot \vec{u}_s), \exp(i k \vec{r}_2 \cdot \vec{u}_s), \dots, \exp(i k \vec{r}_N \cdot \vec{u}_s))$  – вектор фазового набега входных сигналов, обусловленного пространственным разнесением элементов;  $N$  – число элементов АР;  $k = 2\pi/\lambda$  – волновое число;  $\vec{r}_m (m = \overline{1, N})$  – радиус-вектор положения  $m$ -го элемента в выбранной системе координат;  $\vec{u}_s = (\cos \varphi_s \cdot \sin \theta_s, \sin \varphi_s \cdot \sin \theta_s, \cos \theta_s)$  – единичный вектор направления прихода полезного сигнала;  $\varphi_s, \theta_s$  – соответственно азимутальный угол и угол места, отсчитываемый от оси OZ;  $A_n^{-1} = (A + (\sigma_n^2 / \bar{P}_j) \cdot E)^{-1}$ , здесь  $E$  – единичная матрица;  $A = \|a_{mn}\|_{m,n=1}^N$  – эрмитово положительная матрица с элементами:

$$a_{mn} = \sum_{l=1}^L \int_{Q_j} |f(\vec{u})|^2 \cdot \exp\{i \cdot k \cdot (\vec{r}_n - \vec{r}_m) \cdot \vec{u}\} \cdot g_l(\varphi, \theta) \cdot d\Omega, \text{ здесь } g_l(\varphi, \theta), (l = \overline{1, L}) \text{ законы распределения углов прихода помехи в каждой из зон, заданные в виде плотности распределения};$$

$d\Omega$  – элемент телесного угла;  $Q_j$  – зоны (телесные углы) прихода помехи;  $L (1 \leq L < N)$  – количество зон прихода помех;  $\sigma_n^2 = \sum_{i=1}^N \sigma_{ii}$  – суммарная мощность шума АР,  $\sigma_{ii}$  – мощность шума  $i$ -го канала;

Расчеты проводились для малоэлементных антенных решеток с шагом между элементами равным  $0,5\lambda$  и отношением ОСП на входе решетки равным 1. Направления прихода сигнала  $\theta_c$  и помехи  $\theta_n$  равны  $20^\circ$  и  $80^\circ$  соответственно. Полученные результаты представлены в табл.1. Здесь через  $F(\theta_c)$  и  $F(\theta_n)$  обозначены нормированные значения диаграммы направленности антенны в направлениях  $\theta_c$  и  $\theta_n$ .

Данные в табл.1 показывают закономерное убывание таких параметров канала связи, как вероятность битовой ошибки и спектральная эффективность, с ростом величины  $\delta$ . Для двухэлементной АР виден существенный рост значения ДН в направлении прихода сигнала с увеличением сектора  $\delta$ , однако он не приносит желаемого увеличения ОСП, потому, что значения ДН в направлении прихода помехи растут быстрее. Пятиэлементная АР за счет многолепестковости ДН позволяет нейтрализовать ухудшение BER и СЭ при малых значениях  $\delta$ , однако при увеличении  $\delta$  более  $10^\circ$  снижение этих параметров обусловлено ростом величины  $F(\theta_n)$ .

Таким образом величина BER зависит от ширины сектора прихода помехи довольно значительно, что вызывает необходимость детальных исследований влияния величины флуктуаций направления прихода помехи на такие характеристики канала связи как

вероятность битовой ошибки и спектральная эффективность. Результаты этих исследований приведены на рис. 1 – 5 и в табл. 2 – 3.

Значения ОСП,  $BER$ ,  $C_{\mathcal{E}}$  на выходе линейной ААР при изменении сектора флюктуации помехи  $\delta$ .

Таблица 1

$N$	2				3				4				5			
	$\delta^{\circ}$	3	5	7	10	3	5	7	10	3	5	7	10	3	5	7
$F(\theta_c)$	0,872	0,873	0,876	0,880	0,770	0,764	0,763	0,763	1	0,933	0,790	0,700	1	1	0,999	0,964
$F(\theta_n)$	$1,52 \times 10^{-4}$	$1,62 \times 10^{-4}$	$1,94 \times 10^{-4}$	$3,31 \times 10^{-4}$	$1,17 \times 10^{-4}$	$1,49 \times 10^{-4}$	$2,50 \times 10^{-4}$	$6,72 \times 10^{-4}$	$0,89 \times 10^{-4}$	$1,06 \times 10^{-4}$	$1,03 \times 10^{-4}$	$0,97 \times 10^{-4}$	$6,98 \times 10^{-5}$	$6,96 \times 10^{-5}$	$6,93 \times 10^{-5}$	$7,11 \times 10^{-5}$
$\rho, \text{дБ}$	37,60	37,32	36,54	34,25	38,18	37,11	34,84	30,54	40,50	39,45	38,85	38,60	41,56	41,57	41,59	41,33
$BER, \text{дБ}$	-43,62	-43,35	-42,56	-40,28	-44,20	-43,13	-40,86	-36,58	-46,52	-45,47	-44,87	-44,62	-47,59	-47,60	-47,61	-47,35
$C_{\mathcal{E}}, \frac{\text{бит}}{\text{с} \cdot \Gamma_{\text{ц}}}$	11,66	11,57	11,31	10,55	11,85	11,50	10,75	9,33	12,62	12,27	12,07	11,99	12,98	12,98	12,98	12,90

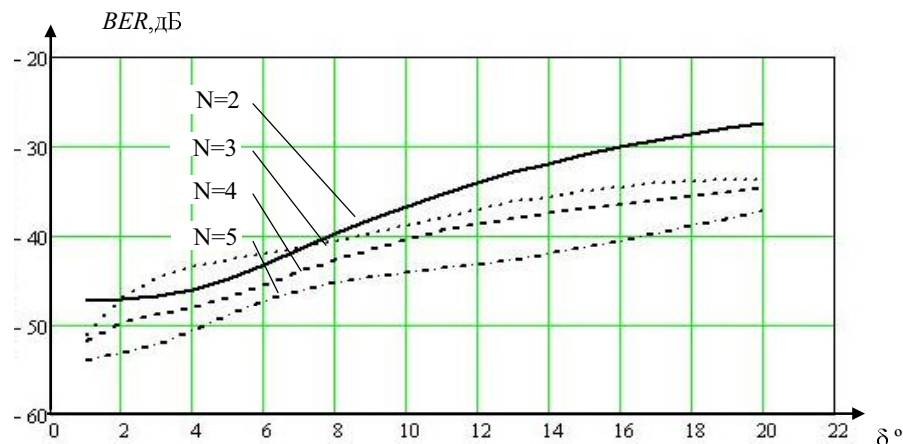


Рис. 1. Зависимость BER для ААР с различным количеством элементов и с расстоянием между ними  $d/\lambda = 0,5$  при направлении прихода полезного сигнала  $\theta_c = 20^{\circ}$ , направлении прихода помехи  $\theta_n = 50^{\circ}$  и ОСП на входе решетки равным 10 от величины сектора флюктуации помехи  $\delta$ .

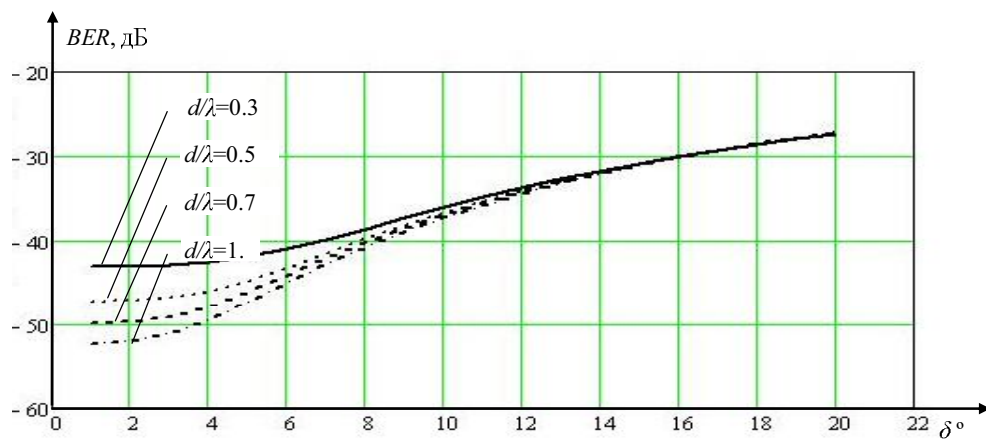


Рис. 2. Зависимость BER для двухэлементной ААР с различными значениями расстояния между элементами  $d/\lambda$  при направлении прихода полезного сигнала  $\theta_c = 20^{\circ}$ , направлении прихода помехи  $\theta_n = 50^{\circ}$  и ОСП на входе решетки равным 10 от величины сектора флюктуации помехи  $\delta$ .

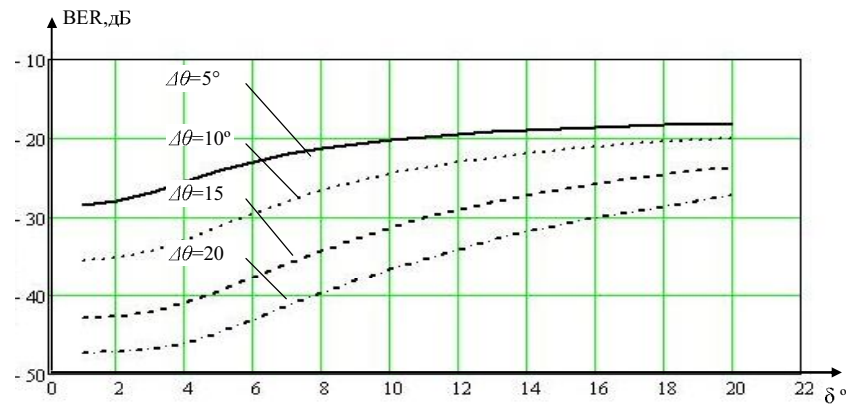


Рис. 3. Залежність  $BER$  для двохелементної ААР з розташуванням між елементами  $d / \lambda = 0,5$ , при напрямленні приходу корисного сигналу  $\theta_c = 20^\circ$ , ОСП на вході решітки рівними  $10$  с различними значеннями розності  $\Delta\theta$  між углами приходу сигналу и помехи від величини сектора флюктуації помехи  $\delta$ .

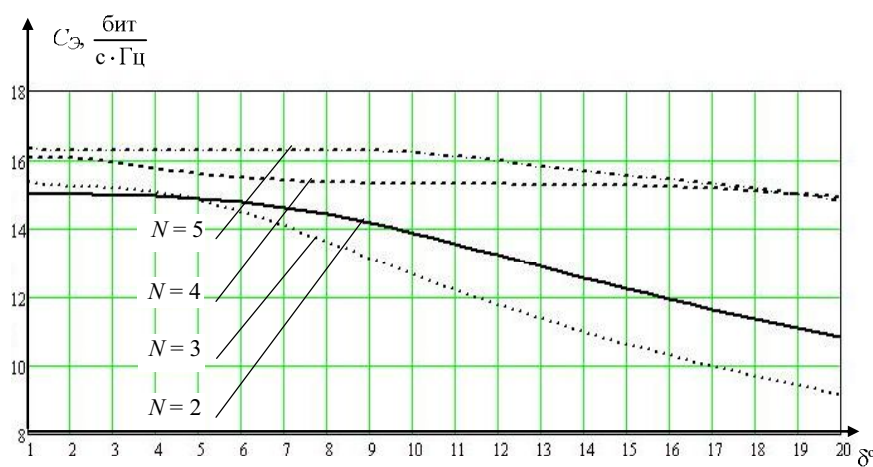


Рис. 4. Залежність  $C_3$  для ААР з різним кількостю елементів и з розташуванням між ними  $d / \lambda = 0,5$  при напрямленні приходу корисного сигналу  $\theta_c = 20^\circ$ , напрямленні приходу помехи  $\theta_n = 80^\circ$  и ОСП на вході решітки рівними  $10$  от величини сектора флюктуації помехи  $\delta$ .

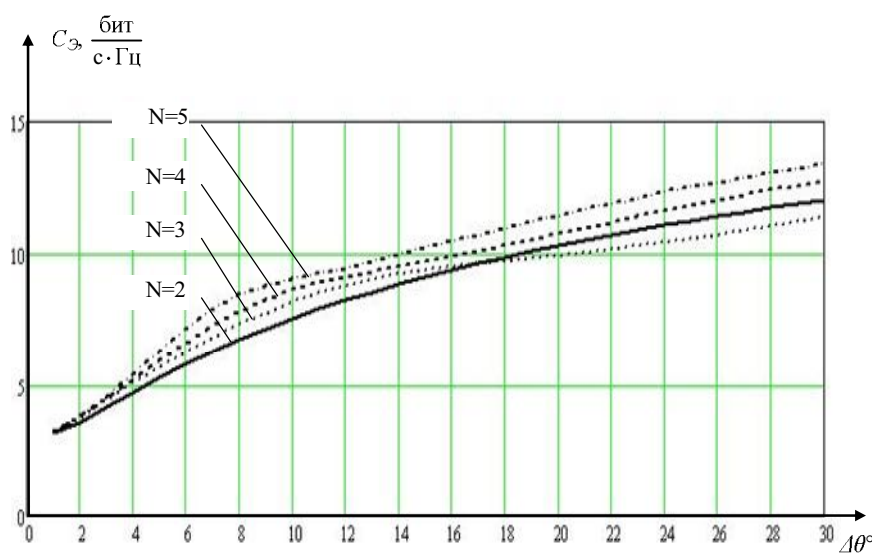


Рис. 5. Залежність  $C_3$  для ААР з різним кількостю елементів и з розташуванням між ними  $d / \lambda = 0,5$  при напрямленні приходу корисного сигналу  $\theta_c = 20^\circ$ , величине сектора флюктуації помехи  $\delta = 5^\circ$ , и ОСП на вході решітки рівними  $10$  от розності між напрямленнями приходу помехи и сигналу  $\Delta\theta$

Таблица 2

Значення BER и СЭ для ААР с розрізним кількостю елементів и з відстанню між ними  
 $d/\lambda = 0,5$ , напрямлені приходу корисного сигналу  $\theta_c = 20^\circ$ , напрямлені  
 приходу помехи  $\theta_p = 80^\circ$  ( $\Delta\theta=60^\circ$ ), з ОСП на вході решетки рівним 10 при зміні величини сектора флюктуації помехи  $\delta$ .

N	2			3			4			5				
	$\delta^o$	BER, dB	$C_E$ , біт/сГц											
14,98	-53,62	3	14,89	-53,34	5	14,63	-52,56	7	13,86	-50,27	1	15,17	-54,2	3
14,89	-53,34	5	14,63	-52,56	7	13,86	-50,27	0	14,81	-53,13	5	14,06	-50,86	7
13,86	-50,27	0	12,64	-46,58	1	12,64	-46,58	0	15,94	-56,52	3	15,59	-55,47	5
10,3	-39,52	20	9,92	-38,37	20	9,92	-38,37	20	8,64	-34,51	10	9,68	-37,66	15
5,27	-24,15	5	5,69	-25,46	5	8,16	-33,05	10	5,92	-26,17	5	10,75	-40,87	20
7,54	-31,16	10	9,12	-35,94	15	9,41	-36,82	15	8,64	-34,51	10	6,31	-27,37	5
10,3	-39,52	20	10,3	-39,52	20	8,16	-33,05	10	9,68	-37,66	15	10,75	-40,87	20
5,27	-24,15	5	5,27	-24,15	5	5,69	-25,46	5	5,92	-26,17	5	6,31	-27,37	5
7,54	-31,16	10	7,54	-31,16	10	9,12	-35,94	15	9,41	-36,82	15	9,92	-38,37	20
10,3	-39,52	20	10,3	-39,52	20	8,16	-33,05	10	9,68	-37,66	15	10,75	-40,87	20
5,27	-24,15	5	5,27	-24,15	5	5,69	-25,46	5	5,92	-26,17	5	6,31	-27,37	5
7,54	-31,16	10	7,54	-31,16	10	9,12	-35,94	15	9,41	-36,82	15	9,92	-38,37	20
10,3	-39,52	20	10,3	-39,52	20	8,16	-33,05	10	9,68	-37,66	15	10,75	-40,87	20
5,27	-24,15	5	5,27	-24,15	5	5,69	-25,46	5	5,92	-26,17	5	6,31	-27,37	5
7,54	-31,16	10	7,54	-31,16	10	9,12	-35,94	15	9,41	-36,82	15	9,92	-38,37	20
10,3	-39,52	20	10,3	-39,52	20	8,16	-33,05	10	9,68	-37,66	15	10,75	-40,87	20
5,27	-24,15	5	5,27	-24,15	5	5,69	-25,46	5	5,92	-26,17	5	6,31	-27,37	5
7,54	-31,16	10	7,54	-31,16	10	9,12	-35,94	15	9,41	-36,82	15	9,92	-38,37	20
10,3	-39,52	20	10,3	-39,52	20	8,16	-33,05	10	9,68	-37,66	15	10,75	-40,87	20
5,27	-24,15	5	5,27	-24,15	5	5,69	-25,46	5	5,92	-26,17	5	6,31	-27,37	5
7,54	-31,16	10	7,54	-31,16	10	9,12	-35,94	15	9,41	-36,82	15	9,92	-38,37	20
10,3	-39,52	20	10,3	-39,52	20	8,16	-33,05	10	9,68	-37,66	15	10,75	-40,87	20
5,27	-24,15	5	5,27	-24,15	5	5,69	-25,46	5	5,92	-26,17	5	6,31	-27,37	5
7,54	-31,16	10	7,54	-31,16	10	9,12	-35,94	15	9,41	-36,82	15	9,92	-38,37	20
10,3	-39,52	20	10,3	-39,52	20	8,16	-33,05	10	9,68	-37,66	15	10,75	-40,87	20
5,27	-24,15	5	5,27	-24,15	5	5,69	-25,46	5	5,92	-26,17	5	6,31	-27,37	5
7,54	-31,16	10	7,54	-31,16	10	9,12	-35,94	15	9,41	-36,82	15	9,92	-38,37	20
10,3	-39,52	20	10,3	-39,52	20	8,16	-33,05	10	9,68	-37,66	15	10,75	-40,87	20
5,27	-24,15	5	5,27	-24,15	5	5,69	-25,46	5	5,92	-26,17	5	6,31	-27,37	5
7,54	-31,16	10	7,54	-31,16	10	9,12	-35,94	15	9,41	-36,82	15	9,92	-38,37	20
10,3	-39,52	20	10,3	-39,52	20	8,16	-33,05	10	9,68	-37,66	15	10,75	-40,87	20
5,27	-24,15	5	5,27	-24,15	5	5,69	-25,46	5	5,92	-26,17	5	6,31	-27,37	5
7,54	-31,16	10	7,54	-31,16	10	9,12	-35,94	15	9,41	-36,82	15	9,92	-38,37	20
10,3	-39,52	20	10,3	-39,52	20	8,16	-33,05	10	9,68	-37,66	15	10,75	-40,87	20
5,27	-24,15	5	5,27	-24,15	5	5,69	-25,46	5	5,92	-26,17	5	6,31	-27,37	5
7,54	-31,16	10	7,54	-31,16	10	9,12	-35,94	15	9,41	-36,82	15	9,92	-38,37	20
10,3	-39,52	20	10,3	-39,52	20	8,16	-33,05	10	9,68	-37,66	15	10,75	-40,87	20
5,27	-24,15	5	5,27	-24,15	5	5,69	-25,46	5	5,92	-26,17	5	6,31	-27,37	5
7,54	-31,16	10	7,54	-31,16	10	9,12	-35,94	15	9,41	-36,82	15	9,92	-38,37	20
10,3	-39,52	20	10,3	-39,52	20	8,16	-33,05	10	9,68	-37,66	15	10,75	-40,87	20
5,27	-24,15	5	5,27	-24,15	5	5,69	-25,46	5	5,92	-26,17	5	6,31	-27,37	5
7,54	-31,16	10	7,54	-31,16	10	9,12	-35,94	15	9,41	-36,82	15	9,92	-38,37	20
10,3	-39,52	20	10,3	-39,52	20	8,16	-33,05	10	9,68	-37,66	15	10,75	-40,87	20
5,27	-24,15	5	5,27	-24,15	5	5,69	-25,46	5	5,92	-26,17	5	6,31	-27,37	5
7,54	-31,16	10	7,54	-31,16	10	9,12	-35,94	15	9,41	-36,82	15	9,92	-38,37	20
10,3	-39,52	20	10,3	-39,52	20	8,16	-33,05	10	9,68	-37,66	15	10,75	-40,87	20
5,27	-24,15	5	5,27	-24,15	5	5,69	-25,46	5	5,92	-26,17	5	6,31	-27,37	5
7,54	-31,16	10	7,54	-31,16	10	9,12	-35,94	15	9,41	-36,82	15	9,92	-38,37	20
10,3	-39,52	20	10,3	-39,52	20	8,16	-33,05	10	9,68	-37,66	15	10,75	-40,87	20
5,27	-24,15	5	5,27	-24,15	5	5,69	-25,46	5	5,92	-26,17	5	6,31	-27,37	5
7,54	-31,16	10	7,54	-31,16	10	9,12	-35,94	15	9,41	-36,82	15	9,92	-38,37	20
10,3	-39,52	20	10,3	-39,52	20	8,16	-33,05	10	9,68	-37,66	15	10,75	-40,87	20
5,27	-24,15	5	5,27	-24,15	5	5,69	-25,46	5	5,92	-26,17	5	6,31	-27,37	5
7,54	-31,16	10	7,54	-31,16	10	9,12	-35,94	15	9,41	-36,82	15	9,92	-38,37	20
10,3	-39,52	20	10,3	-39,52	20	8,16	-33,05	10	9,68	-37,66	15	10,75	-40,87	20
5,27	-24,15	5	5,27	-24,15	5	5,69	-25,46	5	5,92	-26,17	5	6,31	-27,37	5
7,54	-31,16	10	7,54	-31,16	10	9,12	-35,94	15	9,41	-36,82	15	9,92	-38,37	20
10,3	-39,52	20	10,3	-39,52	20	8,16	-33,05	10	9,68	-37,66	15	10,75	-40,87	20
5,27	-24,15	5	5,27	-24,15	5	5,69	-25,46	5	5,92	-26,17	5	6,31	-27,37	5
7,54	-31,16	10	7,54	-31,16	10	9,12	-35,94	15	9,41	-36,82	15	9,92	-38,37	20
10,3	-39,52	20	10,3	-39,52	20	8,16	-33,05	10	9,68	-37,66	15	10,75	-40,87	20
5,27	-24,15	5	5,27	-24,15	5	5,69	-25,46	5	5,92	-26,17	5	6,31	-27,37	5
7,54	-31,16	10	7,54	-31,16	10	9,12	-35,94	15	9,41	-36,82	15	9,92	-38,37	20
10,3	-39,52	20	10,3	-39,52	20	8,16	-33,05	10	9,68	-37,66	15	10,75	-40,87	20
5,27	-24,15	5	5,27	-24,15	5	5,69	-25,46	5	5,92	-26,17	5	6,31	-27,37	5
7,54	-31,16	10	7,54	-31,16	10	9,12	-35,94	15	9,41	-36,82	15	9,92	-38,37	20
10,3	-39,52	20	10,3	-39,52	20	8,16	-33,05	10	9,68	-37,66	15	10,75	-40,87	20
5,27	-24,15	5	5,27	-24,15	5	5,69	-25,46	5	5,92	-26,17	5	6,31	-27,37	5
7,54	-31,16	10	7,54	-31,16	10	9,12	-35,94	15	9,41	-36,82	15	9,92	-38,37	20
10,3	-39,52	20	10,3	-39,52	20	8,16	-33,05	10	9,68	-37,66	15	10,75	-40,87	20
5,27	-24,15	5	5,27	-24,15	5	5,69	-25,46	5	5,92	-26,17	5	6,31	-27,37	5
7,54	-31,16	10	7,54	-31,16	10	9,12	-35,94	15	9,41	-36,82	15	9,92	-38,37	20
10,3	-39,52	20	10,3	-39,52	20	8,16	-33,05	10	9,68	-37,66	15	10,75	-40,87	20
5,27	-24,15	5	5,27	-24,15	5	5,69	-25,46	5	5,92	-26,17	5	6,31	-27,37	5
7,54	-31,16	10	7,54	-31,16	10	9,12	-35,94	15	9,41	-36,82	15	9,92	-38,37	20
10,3	-39,52	20	10,3	-39,52	20	8,16	-33,05	10	9,68	-37,66	15	10,75	-40,87	20
5,27	-24,15													